

# Systèmes sur puce communicants

## SOCOM201

G. Rodriguez-Guisantes  
Dépt. COMELEC



2016-2017

## Plan de la présentation

- Caractéristiques du canal radio ;
- Analyse et conception du Tx-Rx ;
- Modulation M-QAM - analyse théorique ;
- M-QAM et les distorsions ;
- Modulations *wideband*- l'OFDM ;

# Caractéristiques du canal radio

## Effets microscopiques du canal

### Signal transmi :

$$s(t) = \text{Re}\{u(t).e^{j2\pi f_c t}\} = I(t) \cos(2\pi f_c t) - Q(t) \sin(2\pi f_c t)$$

$f_c$  porteuse -  $u(t)$  BB avec  $B_s$  Hz.

### Signal reçu :

$$r(t) = \text{Re} \left\{ \sum_{n=0}^{N(t)} \alpha_n u(t - \tau_n(t)).e^{j\{2\pi f_c(t - \tau_n(t)) + \phi_n^D\}} \right\}$$

$$\phi_n(t) = 2\pi f_c \tau_n(t) - \phi_n^D,$$

$$r(t) = \text{Re} \left\{ e^{j2\pi f_c t} \cdot \sum_{n=0}^{N(t)} \alpha_n u(t - \tau_n(t)).e^{-j\phi_n(t)} \right\}$$

## Composantes du *fading*

$n$  correspond à un chemin de longueur

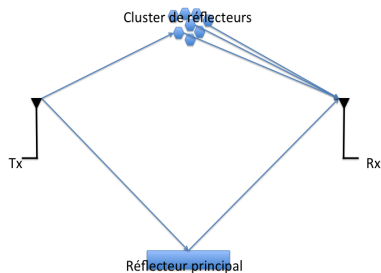
$$L_n \rightarrow \tau_n = L_n/c$$

$\alpha_n(t)$  = atténuation.

$$\phi_n^D = \int 2\pi f_n^D(t) dt = \text{Doppler } f_c,$$

$$f_n^D(t) = \frac{v \cos \theta_n(t)}{\lambda},$$

$\theta_n(t)$  angle relatif à la direction du mouvement.



Les chemins sont *résolubles* si  $|\tau_j - \tau_i| \gg B_s^{-1}$

## Impact du *fading*

Si la dispersion des retards est petite comparée à  $B_s^{-1} \sim T_s$   
 $\Rightarrow$  *narrowband fading* ;

Si la dispersion des retards est grande comparée à  $B_s^{-1} \sim T_s$   
 $\Rightarrow$  *wideband fading* ;

### *Delay spread*

La dispersion des chemins autour de la moyenne s'appelle *Delay spread* du canal  $\rightarrow T_m$ .

## Modèle *narrowband*

Dans ce cas  $T_m \ll T_s$ .

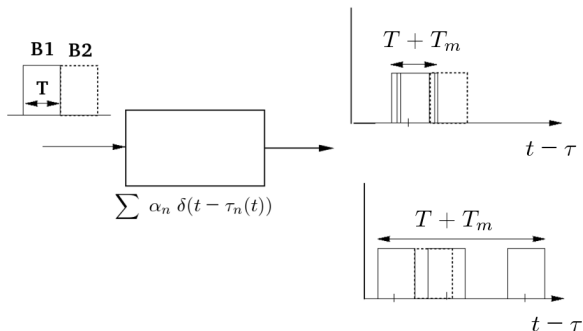
Si  $\tau_i$  représente le  $i$ -ème retard, alors  $\tau_i \leq T_m$  :

$$u(t - \tau_i) \simeq u(t).$$

$$r(t) = \operatorname{Re} \left\{ u(t) e^{j2\pi f_c t} \underbrace{\left( \sum_n \alpha_n(t) e^{-j\phi_n(t)} \right)}_{A(t)} \right\}.$$

## Modèle wideband

Dans ce cas  $T_m \gg T_s$ .



**Conclusion** : si  $T_m \gg T_s \rightarrow$  **IES**

## L'effet Doppler

Cet effet traduit la variabilité du canal dans le temps :

La dispersion moyenne de la fréquence autour de la porteuse s'appelle *Doppler spread*  $B_D$  du canal

On appelle **Temps de Cohérence** du canal, la durée d'un cycle complet de la dynamique induite par le Doppler.

$$T_c \approx 1/B_D$$

## Resumé

### *Delay Spread - $T_m$*

La dispersion des retards donne une bonne idée des caractéristiques dispersives du canal dans le temps.

### *Doppler Spread - $B_D$*

La dispersion Doppler donne une bonne idée de la variabilité du canal dans le temps.

### Paramètres

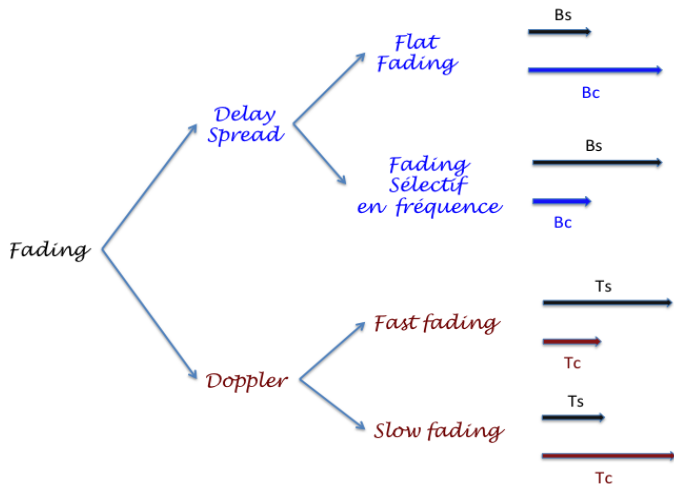
Dispersion moyenne  $\leftrightarrow$  Bande de cohérence

$$T_m \leftrightarrow B_c$$

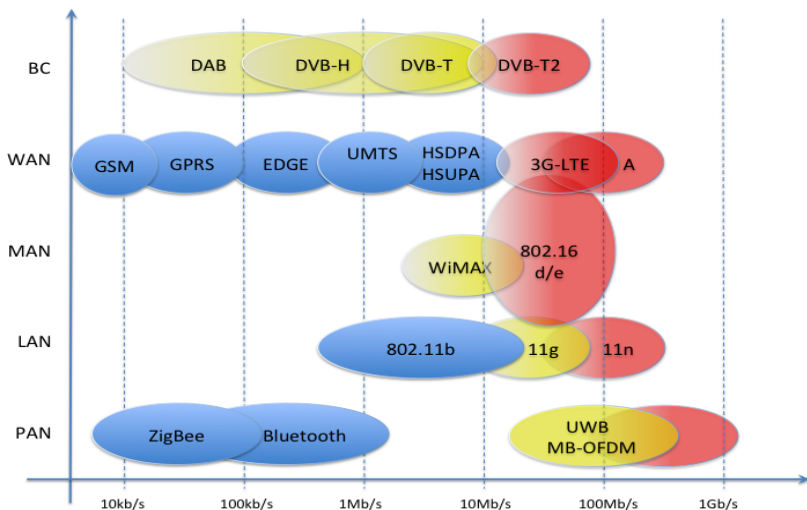
Temps de Cohérence  $\leftrightarrow$  Dispersion Doppler

$$T_c \leftrightarrow B_D$$

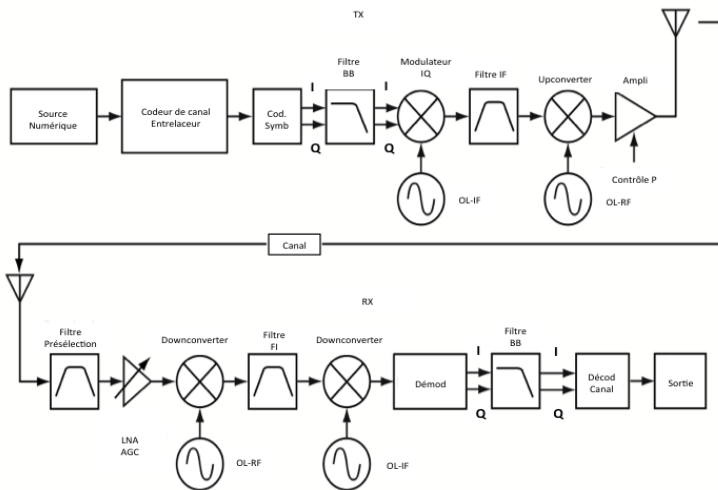
# Résumé des modèles de canaux RF



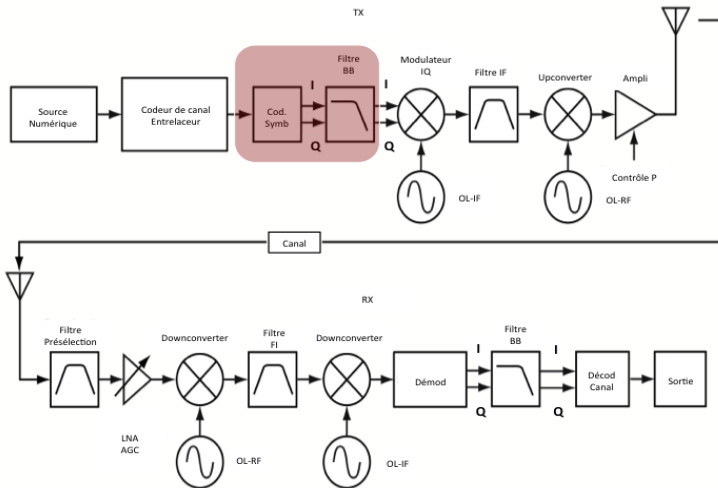
# Etat de l'art



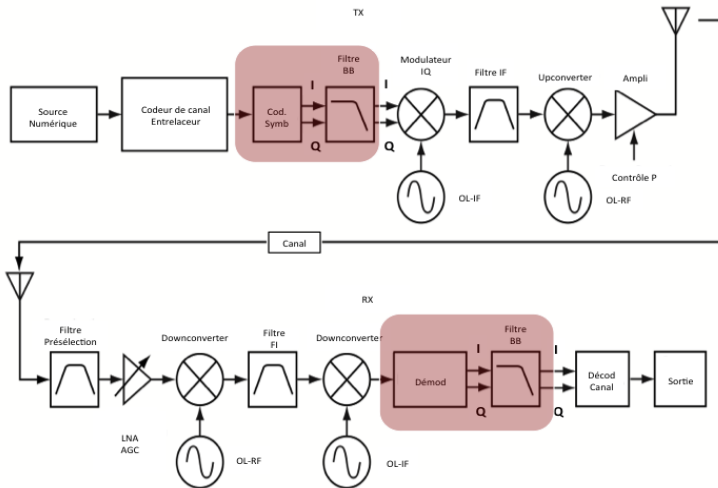
# Schéma de Tx-Rx



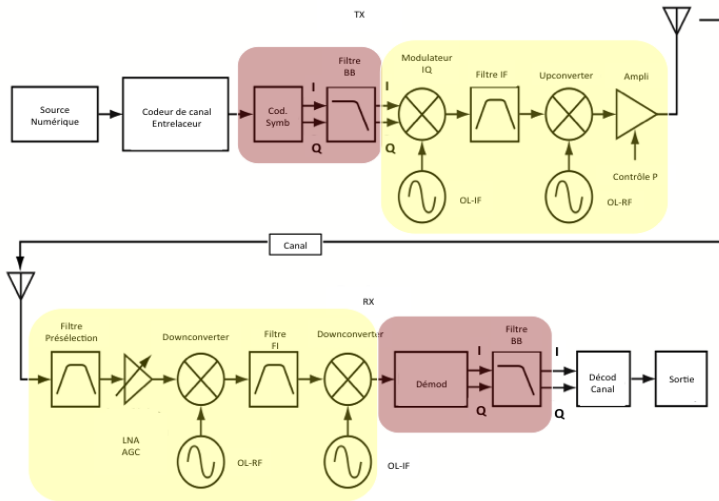
# Schéma de Tx-Rx



# Schéma de Tx-Rx



# Schéma de Tx-Rx



## Modulation en bande de base

Signal transmi :

$$s(t) = \text{Re}\{u(t).e^{j2\pi f_c t}\} = I(t) \cos(2\pi f_c t) + j.Q(t) \sin(2\pi f_c t)$$

$f_c$  porteuse -  $u(t)$  signal en bande de base.

$$u(t) = I(t) + j.Q(t)$$

Représentation complexe du signal porteur d'information

$I(t)$  – composante en phase

$Q(t)$  – composante en quadrature

## Modulation en bande de base

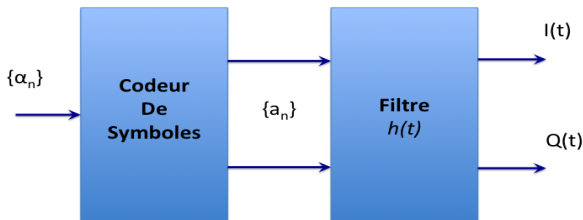
**Modulation numérique** : construire  $u(t)$  en fonction des changements d'états d'une source d'information.

$$u(t) = \sum_n a_n \cdot h(t - nT)$$

## Modulation en bande de base

$u(t)$  est construit en deux phases :

- bits  $\rightarrow$  amplitudes ;
- amplitudes  $\rightarrow$  forme d'onde (grâce à  $h(t)$ ).

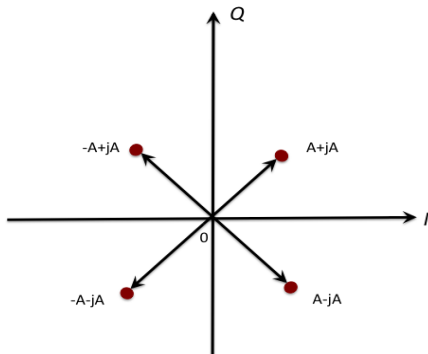


## Exemple

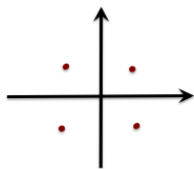
$$u(t) \in \mathcal{C}$$

$$u(t) = \sum_n a_n \cdot h(t - nT)$$

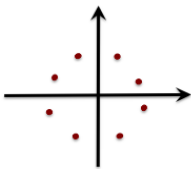
$$a_n = \{A + jA; -A + jA; -A - jA; A - jA\}$$



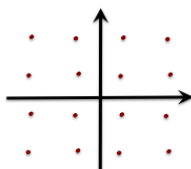
## Généralisation à l'ordre $M$



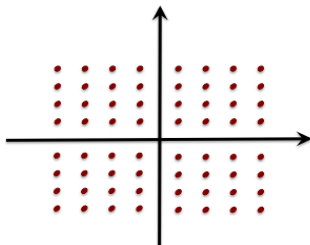
4-PSK



8-PSK

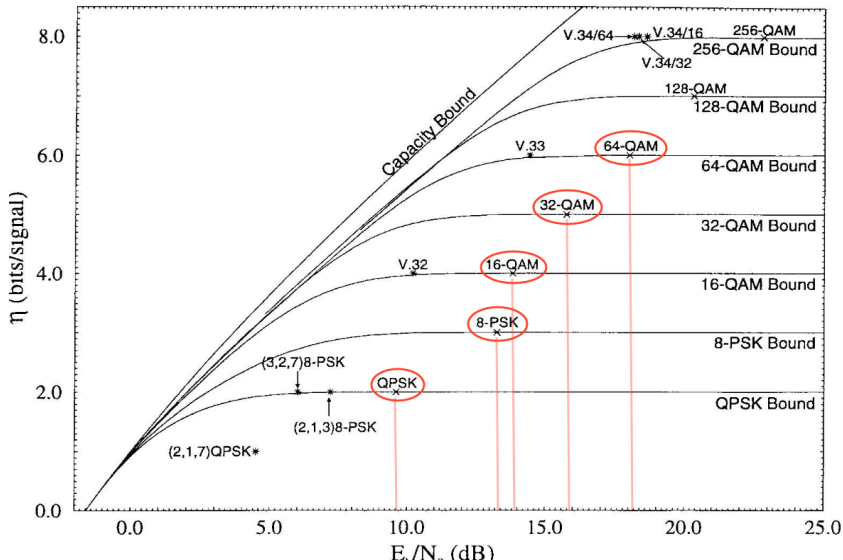


16-QAM



64-QAM

# Efficacité spectrale



# Modulation M-QAM - analyse théorique

Signal émis

$$s(t) = \sum_n a_n h_t(t - nT)$$

Signal reçu

$$r(t) = \sum_n a_n h_{Rx}(t - nT) + b(t)$$

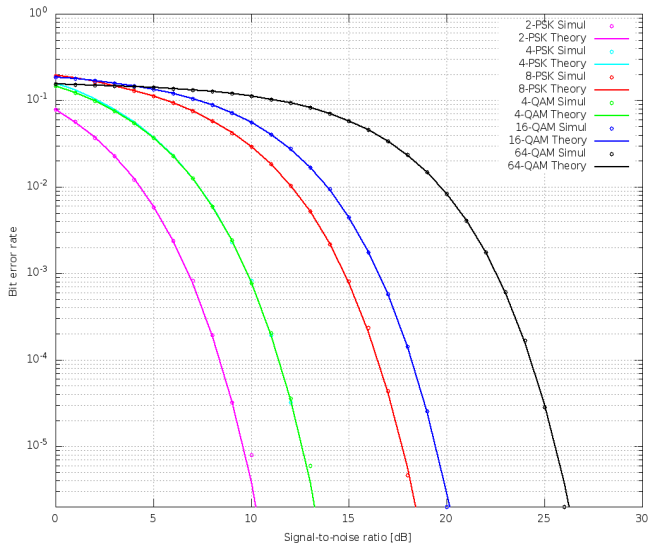
où

$$h_{Rx}(t) = h_t(t) * h_c(t) * h_r(t)$$

Signal reçu échantillonné

$$r(kT + \tau) = \sum_n a_n h_{Rx}(kT + \tau - nT) + b(kT + \tau)$$

# Modulation M-QAM - Performance en BABG



# Les distorsions

Les sources de distorsion :

- distorsions linéaires dues au canal ;
- les distorsions du Tx ;
- les distorsions du Rx.

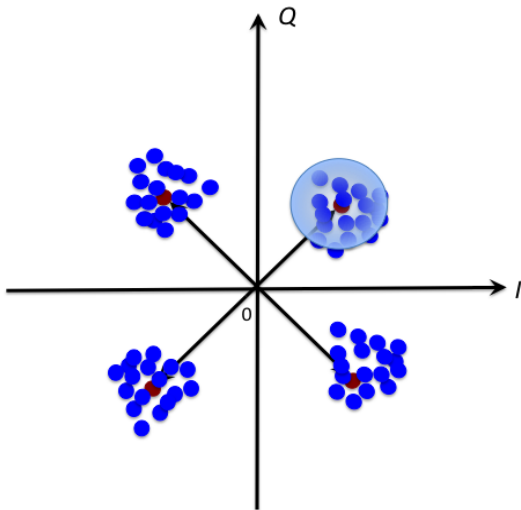
## Distorsions du canal sur la M-QAM

Possibles sources de distorsion :

- limitation en bande du canal ;
- sélectivité en fréquence due au *fading* ;

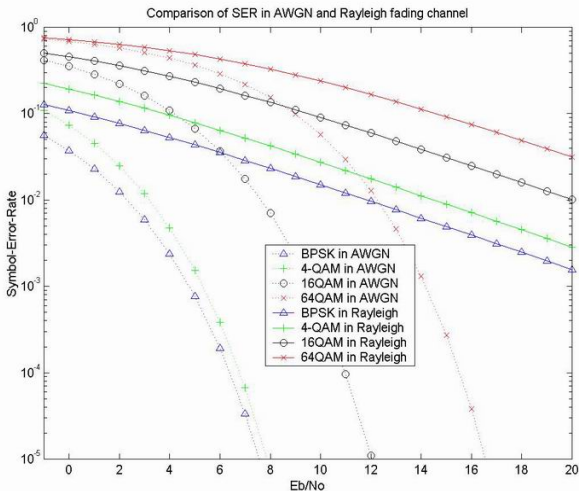
Si  $B_c \lll \frac{1}{T}$  alors IES !

# Impact de l'IES - Diagrammes de dispersion





# $P_{symb}$ - M-QAM en canal de Rayleigh



## L'égalisation

L'idée de l'égalisation consiste à supprimer la distorsion induite par le canal

Deux façons de traiter le problème :

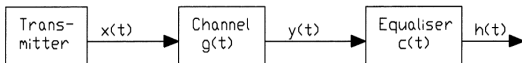
- filtrage dans le domaine de la fréquence ;
- convolution dans le temps avec la bonne réponse impulsionnelle.

Trois techniques sont fréquemment utilisées dans la pratique :

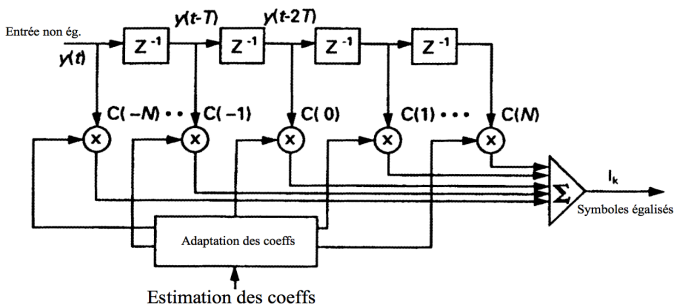
- égalisation linéaire ;
- égalisation par retour des décisions ;
- égalisation par estimation de séquence.

# Égalisation linéaire

## Modèle d'égaliseur linéaire



Il s'agit d'un filtre linéaire de RI :  $c(kT) = \sum_{k=-N}^{+N} c(k).z^{-kT}$



# Le zero forcing et le EQM

## Modèle d'égaliseur linéaire



Les coeffs du filtre linéaire peuvent être calculés selon deux critères :

- on annule l'effet de l'IES sur la plage d'échantillons  $(-N; +N) \rightarrow$  *Zero Forcing* ;
- on minimise l'**erreur quadratique moyenne de la distorsion**  $\rightarrow$  *EQM*.

## Le zero forcing et le EQM

Si  $h(n) = y(n) * c(n)$ , alors on appelle **Distorsion quadratique moyenne** ;

$$DQM = \frac{1}{h^2(0)} \sum_{k=-\infty; k \neq 0}^{+\infty} h^2(n)$$

Pour minimiser l'IES il suffit de minimiser l'**erreur quadratique moyenne**

$$EQM = \epsilon = \left( \sum_{k=-\infty; k \neq 0}^{+\infty} h^2(n) \right) - h^2(0)$$

Fonction quadratique des coeffs → problème « classique » d'estimation spectrale qui peut être résolu par des algorithmes du type Levinson-Durbin.

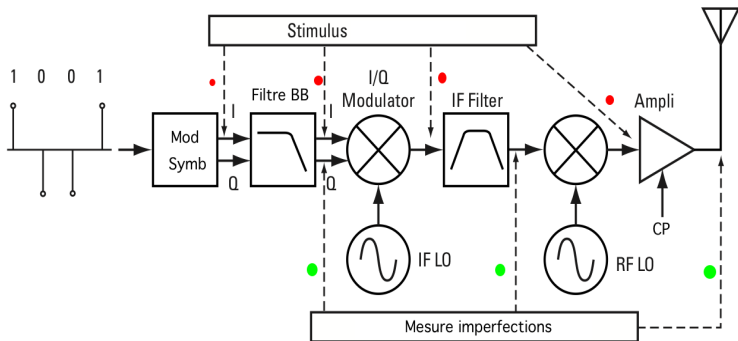


## L'impact des imperfections RF

Nous allons considérer les sources d'imperfection suivantes :

- le offset de DC ;
- le déséquilibre entre I et Q ;
- le bruit de phase ;
- le rapport de pic (*peak-to-average power ratio* - P2A) ;
- la non-linéarité des amplificateurs RF.

# Mesure des imperfections



## Indices de qualité

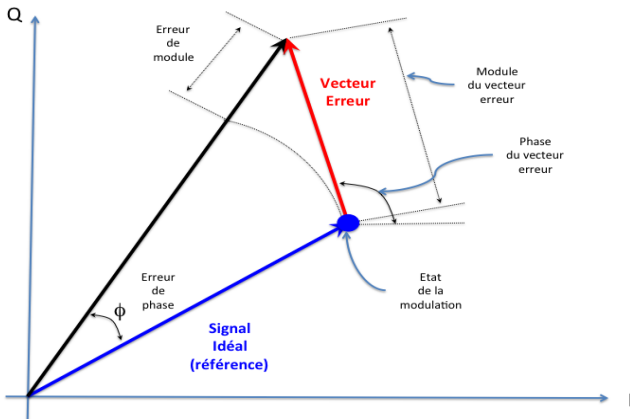
Plusieurs « marqueurs » peuvent être utilisés pour mesurer la qualité de la modulation :

- l'erreur vectorielle (*Error Vector Magnitude*) ;
- erreur de fréquence et de phase ;
- $\rho$  du CDMA et puissance du code.

Déf : l'**erreur vectorielle**, est le vecteur différence entre la valeur du signal complexe à un instant d'échantillonnage, et la valeur théorique que le signal complexe devrait avoir à cet instant.

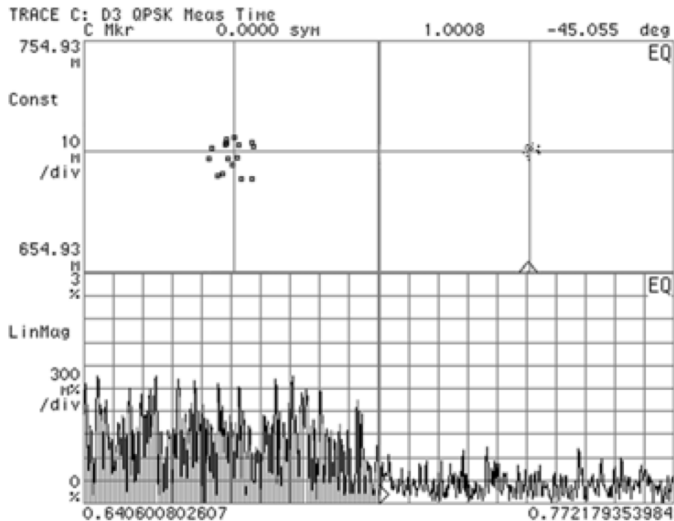
Il s'agit d'une quantité **complexe** (vectorielle) !

# EVM



l'**EVM**, est la valeur quadratique moyenne dans le temps de l'erreur vectorielle, au instants de transition des symboles.

# EVM et l'égalisation



## Le offset de DC

La présence d'un offset de continu sur les composantes  $I(t)$  et  $Q(t)$  → mod de phase du signal modulé.

$$s(t) = A.I(t) \cos(2\pi f_c t) - A.Q(t) \sin(2\pi f_c t),$$

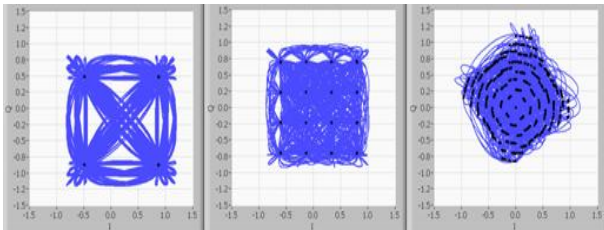
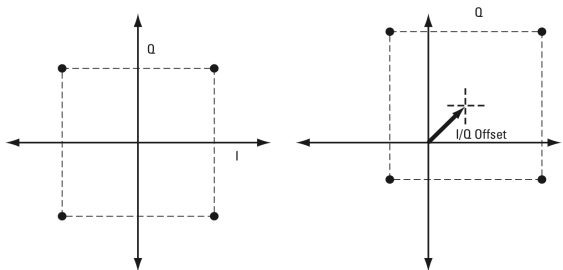
$$s_{DC}(t) = A.(I(t) + V_I) \cos(2\pi f_c t) - A.(Q(t) + V_Q) \sin(2\pi f_c t),$$

$$s_{DC}(t) = s(t) + A.V_I \cos(2\pi f_c t) - A.V_Q \sin(2\pi f_c t).$$

Un « reste » de porteuse traîne sur le signal modulé !

**Attention !** : ceci peut avoir des conséquences néfastes sur la performance de la modulation.

# Le offset de DC (2)



## Le déséquilibre entre I et Q

Très rarement on vérifie l'orthogonalité des composantes  $I(t)$  et  $Q(t)$ .

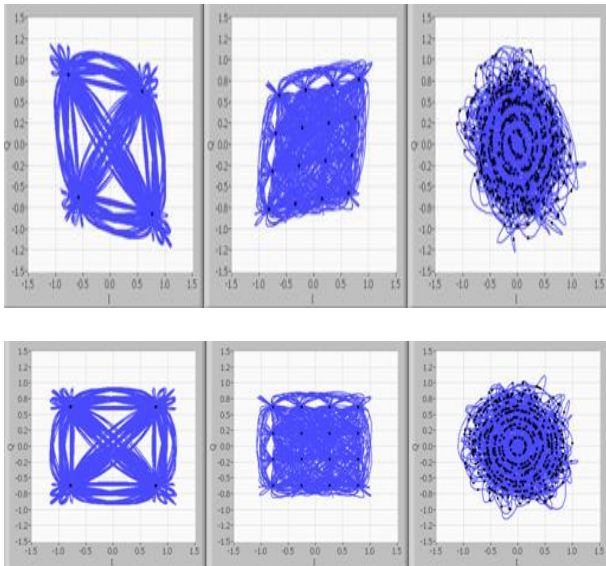
$$s(t) = A.I(t) \cos(2\pi f_c t) - A.Q(t) \sin(2\pi f_c t),$$

$$s_{Imb}(t) = A.I(t) \cos(2\pi f_c t) - A.Q(t)(1 + \alpha) \sin(2\pi f_c t + \phi),$$

$$s_{Imb}(t) = A.(I(t) - (1 + \alpha) \sin \phi . Q(t)) \cos(2\pi f_c t) - \\ - A.(1 + \alpha \cos \phi) . Q(t) . \sin(2\pi f_c t + \phi).$$

I et Q se gênent mutuellement !

## Le déséquilibre entre I et Q (2)



## Le bruit de phase

L'oscillateur local introduit une gigue dans sa fréquence de résonance.

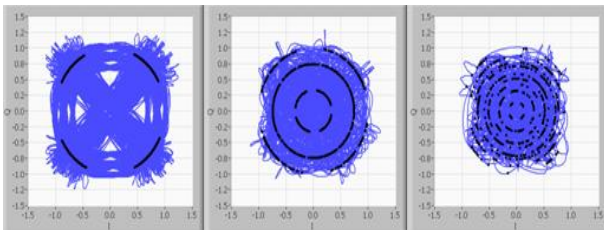
$$s(t) = A.I(t) \cos(2\pi f_c t) - A.Q(t) \sin(2\pi f_c t),$$

$$s_{PN}(t) = A.I(t) \cos(2\pi f_c t + \phi(t)) - A.Q(t) \sin(2\pi f_c t + \phi(t)),$$

$$s_{PN}(t) = A.(I(t) \cos \phi(t) - Q(t) \sin \phi(t)). \cos(2\pi f_c t) - \\ - A.(I(t) \sin \phi(t) + Q(t) \cos \phi(t)). \sin(2\pi f_c t).$$

I et Q s'entre-modulent à la cadence de  $\phi(t)$  !

## Le bruit de phase (2)

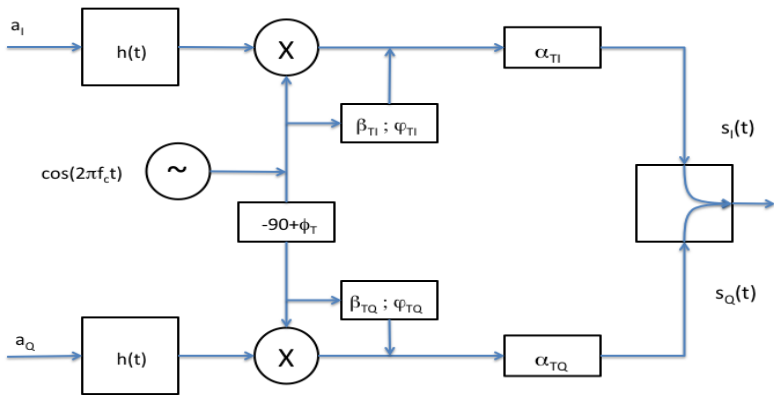


## Exemple : impact des imperfections sur la M-QAM

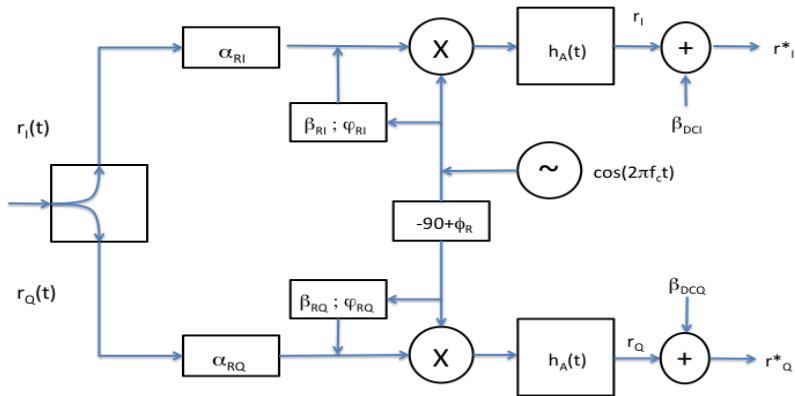
Quel est l'impact de ces imperfections sur le signal modulé ?  
A titre d'exemple, nous allons quantifier les imperfections suivantes :

- erreur de phase entre I et Q ;
- déséquilibre des amplitudes I-Q ;
- fuite de porteuse après mélange ;
- offset DC.

# Exemple : modèle des imperfections - Tx



# Exemple : modèle des imperfections - Rx



## Exemple : Signaux en BB - TX/Rx

$$s_{modI}(t) = \sum a_{Ik}h(t-kT_{symb}) \quad ; \quad s_{modQ}(t) = \sum a_{Qk}h(t-kT_{symb}),$$

$$\tilde{s}(t) = s_I(t) + js_Q(t),$$

où :

$$s_I(t) = \alpha_{TI} \cdot s_{modI}(t) - \alpha_{TQ} \cdot \sin \phi_T \cdot s_{modQ}(t) + \alpha_{TI} \beta_{TI} \cdot \cos \varphi_{TI} - \alpha_{TQ} \beta_{TQ} \cdot \cos \varphi_{TQ}$$

et

$$s_Q(t) = \alpha_{TQ} \cos \phi_T \cdot s_{modQ}(t) + \alpha_{TI} \beta_{TI} \cdot \sin \varphi_{TI} + \alpha_{TQ} \beta_{TQ} \cdot \sin \varphi_{TQ}$$

## Exemple : Signaux en BB - TX/Rx 2

$$\tilde{r}(t) = r_I(t) + jr_Q(t) = s_I(t) + n_I(t) + j(s_Q(t) + n_Q(t)),$$

$$r_I^*(t) = \alpha_{RI} \cdot s_I(t) + \alpha_{RI} \beta_{RI} \cdot \cos \varphi_{RI} + \beta_{DCI}$$

et

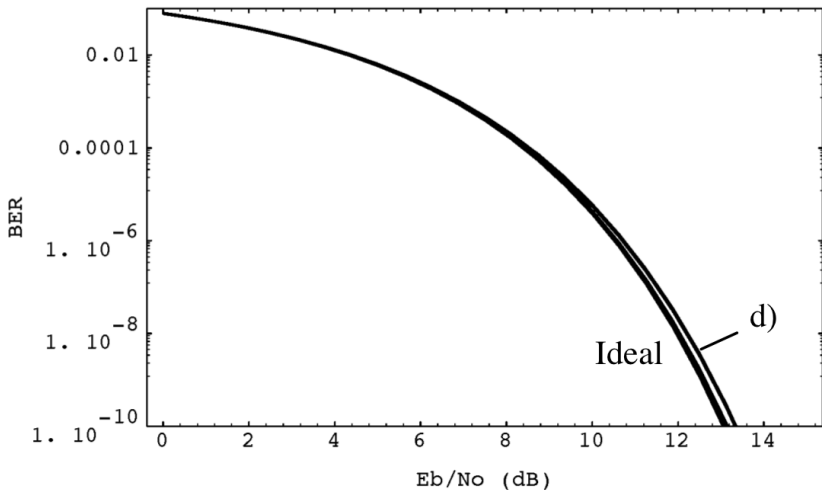
$$r_Q^*(t) = \alpha_{RQ} \cdot \{s_Q(t) \cos \phi_R - s_I(t) \sin \phi_R\} + \alpha_{RQ} \beta_{RQ} \cdot \sin(\varphi_{RQ} - \phi_R) + \beta_{DCQ}$$

## Exemple : Paramètres de simulation 2

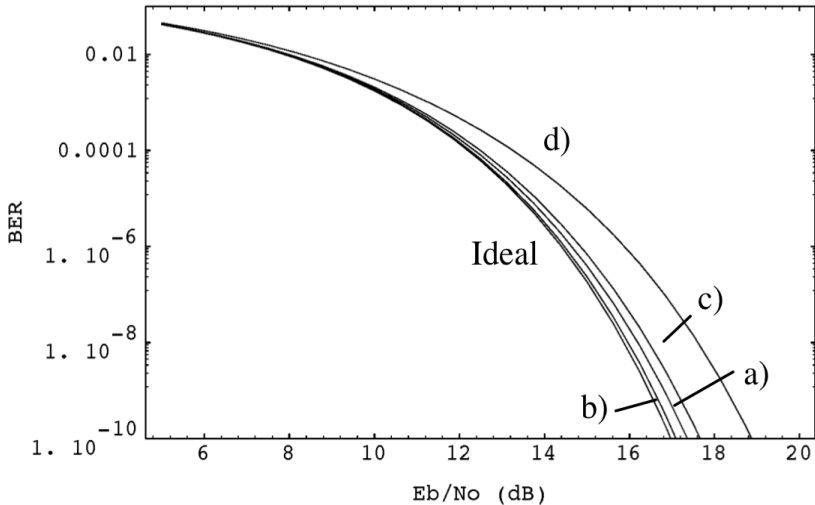
$$DC_{offset} = 0$$

ErrQuad Tx/Rx(deg)	DéseqAmp(dB)	CL-supp(dBc)	Fig
0.5/0.5	0.1(2%)	30	a)
0.5/0.5	0.1	$\infty$	b)
1.0/1.0	0.3(7%)	$\infty$	c)
3.0/2.0	0.5(12%)	$\infty$	d)

# Exemple : BER-QPSK

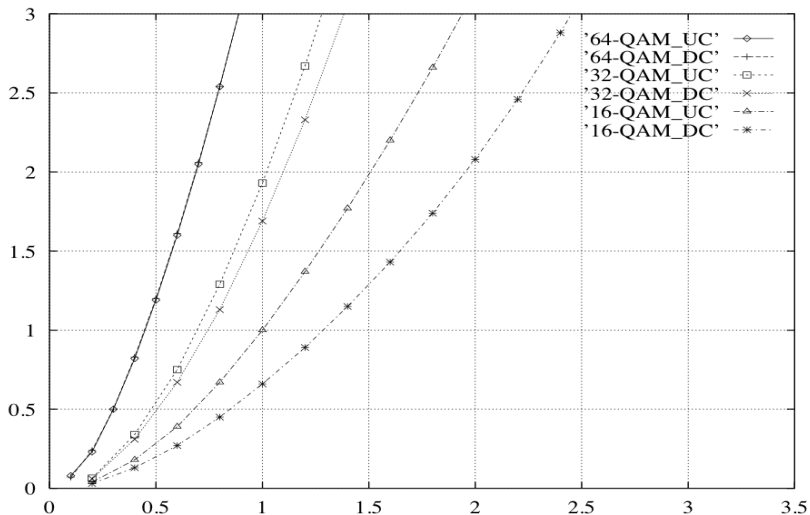


# Exemple : BER-16QAM

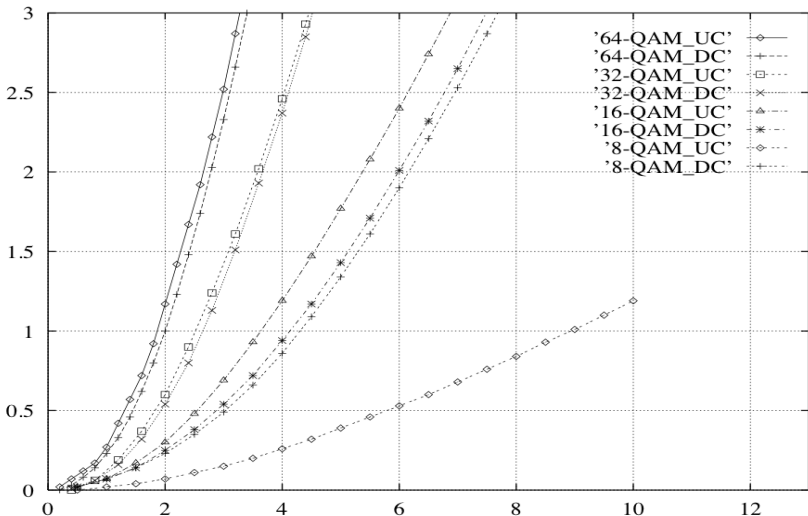




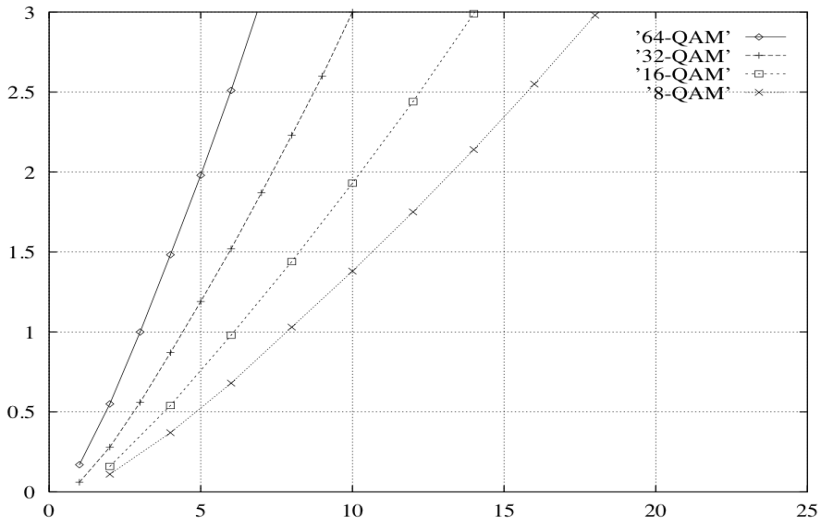
# Pertes d'implantation - Déséquilibre d'amplitudes (en dB@10<sup>-6</sup>)



# Pertes d'implantation - Erreur I-Q (en $\text{deg}@10^{-6}$ )



# Pertes d'implantation - DC offset (en %@ $10^{-6}$ )



## L'idée du MCM

Supposons un canal sélectif en fréquence :

$$T_s \ggg T_m$$

$$B_s \lll B_c$$

On décompose le système en  $N$  système en parallèle :

$$B_N = \frac{B_s}{N},$$

de sorte que :

$$B_N \cong B_c$$

## L'idée du MCM (2)

Un flux binaire  $D$  b/s est divisé en  $N$  flux de débit  $D' = D/N$ .

Chaque flux sera modulé par un modulateur à  $M$  états (ex.  $M - QAM$ ).

Si on utilise un filtre de Nyquist  $g(t)$  de *roll-off*  $\beta$ , chaque flux sera transposé autour de la fréquence  $f_i$ .

$$s(t) = \sum_{i=0}^{N-1} a_i g(t) \cos(2\pi f_i t + \phi_i),$$

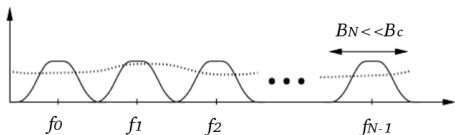
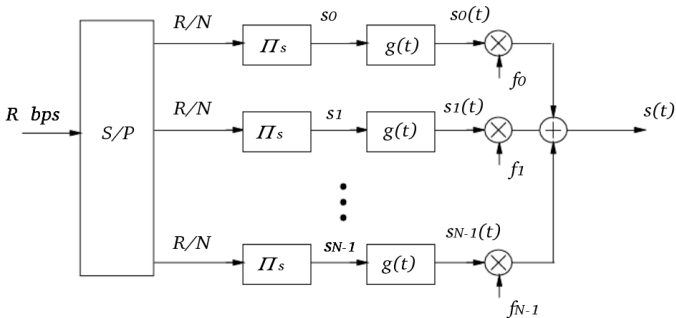
Les fréquences  $f_i$  vérifient :

$$f_i = f_0 + iB_N.$$

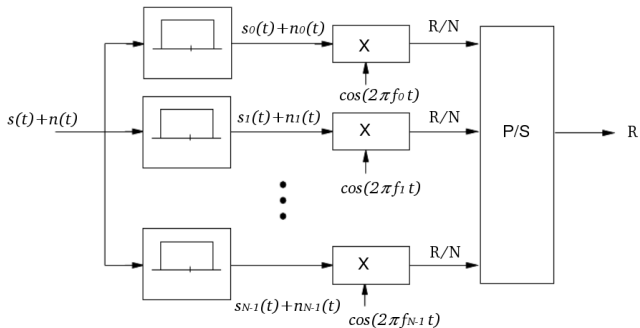
et le temps de symbole :

$$T_N = \frac{(1 + \beta)}{B_N},$$

# Le Tx multi-porteuses



# Le Rx multi-porteuses



## Efficacité spectrale

Ce système est spectralement inefficace.

$$B_{TOT} = N.B_N = N.\frac{1 + \beta}{T_N}.$$

On peut réduire la largeur de bande totale en « serrant » les porteuses entre elles.

L'ensemble,

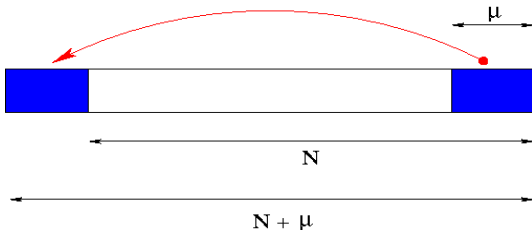
$$\left\{ \cos\left(2\pi\left(f_0 + \frac{i}{T_N}t + \phi_i\right)\right) \right\} \quad i = 0, 1, 2, \dots, N - 1,$$

est orthogonal dans l'ensemble  $[0, T_N]$ .

$$B_N = (1 + \beta)\frac{1}{T_N},$$

$$B_{TOT} = \frac{1}{2}(\beta + \xi)\frac{1}{T_N} + N.\frac{1}{T_N} + \frac{1}{2}(\beta + \xi)\frac{1}{T_N} = \frac{N + \beta + \xi}{T_N} \approx \frac{N}{T_N}.$$

# Préfixe cyclique



$$\tilde{x}(n) \rightarrow h(n) \rightarrow y(n)$$

$$y(n) = h(n) * \tilde{x}(n) = \sum_{k=0}^{\mu} h(k) \cdot \tilde{x}(n - k) = \sum_{k=0}^{\mu} h(k) \cdot x(n - k)_N = h(n) \odot x(n).$$

**pc : CL → CC!**

$$Y(i) = H(i) \cdot X(i) \quad 0 \leq i \leq N - 1 \Rightarrow x(n) = \text{IDFT} \left\{ \frac{Y(i)}{X(i)} \right\}.$$

# l'OFDM

Le **pc** induit l'OFDM !

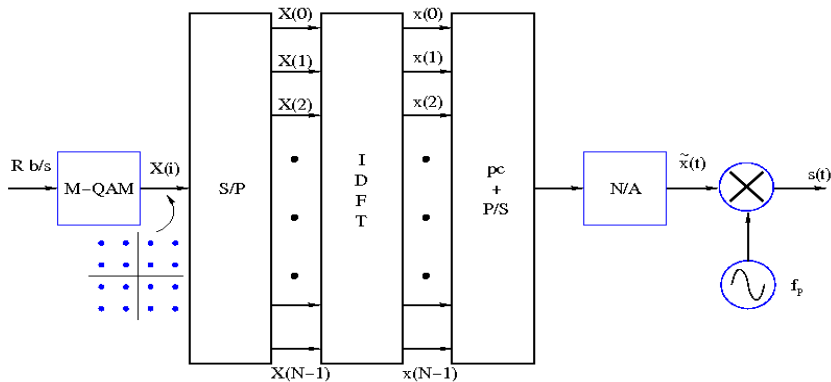
Les données sont divisées en blocs de taille  $N$  symboles.

Chaque bloc s'appelle un « symbole OFDM ».

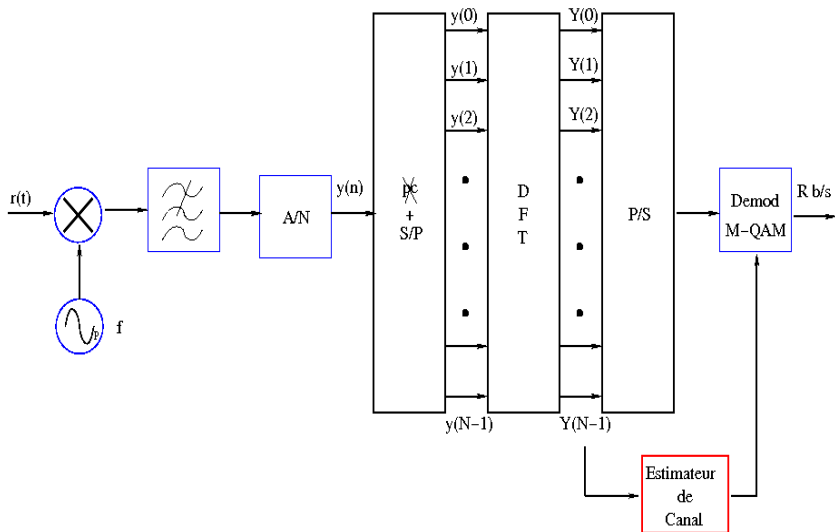
Un symbole OFDM est précédé d'un **pc** de longueur proportionnelle au *delay spread* du canal, pour induire la convolution circulaire et atténuer les effets d'IES entre blocs.

En réception, les symboles entachés d'IES sont supprimés et une transformation inverse assure la récupération des données.

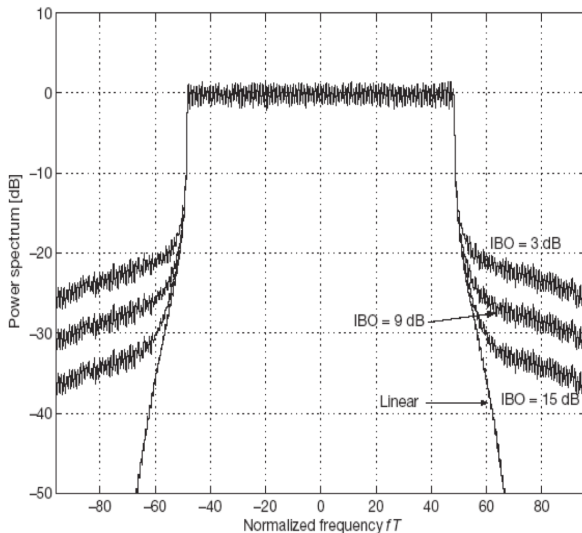
# Modulateur OFDM



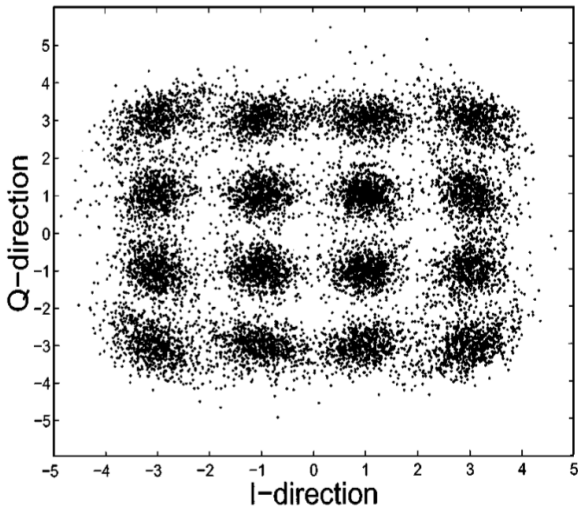
# Démodulateur OFDM



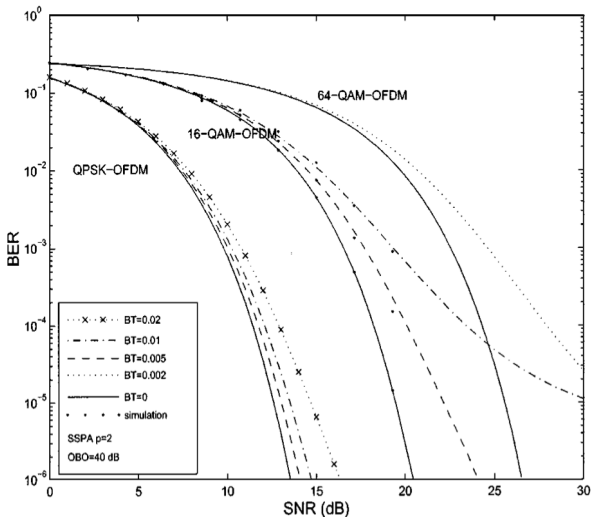
# La non-linéarité des amplis RF.



## La non-linéarité des amplis RF (2)



# La non-linéarité des amplis RF (3)





# Fin

[rodriguez@telecom-paristech.fr](mailto:rodriguez@telecom-paristech.fr)